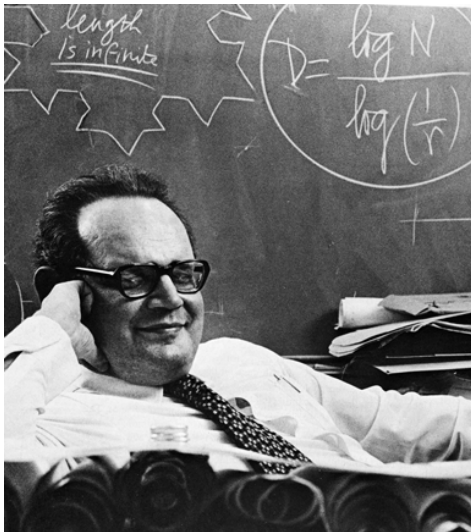


## CM8 : Fractales lisses



Benoît Mandelbrot

# Le problème du plongement isométrique

- Un plongement

$$f : (M^n, g) \xrightarrow{C^1} \mathbb{E}^q$$

entre une variété riemannienne compacte  $(M^n, g)$  et un espace euclidien  $\mathbb{E}^q = (\mathbb{R}^n, \langle \cdot, \cdot \rangle)$  est un **plongement isométrique** s'il préserve la longueur des courbes *i. e.*

$$Long(f \circ \gamma) = Long(\gamma)$$

pour toute courbe paramétrée  $C^1$  par morceaux  $\gamma : [0, 1] \rightarrow M^n$

# Le problème du plongement isométrique

- Un plongement

$$f : (M^n, g) \xrightarrow{C^1} \mathbb{E}^q$$

entre une variété riemannienne compacte  $(M^n, g)$  et un espace euclidien  $\mathbb{E}^q = (\mathbb{R}^n, \langle \cdot, \cdot \rangle)$  est un **plongement isométrique** s'il préserve la longueur des courbes *i. e.*

$$Long(f \circ \gamma) = Long(\gamma)$$

pour toute courbe paramétrée  $C^1$  par morceaux  $\gamma : [0, 1] \rightarrow M^n$

- Cette condition se réduit à résoudre un système d'**EDP non linéaires** :

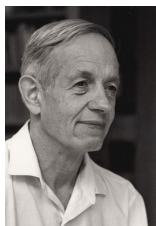
$$\text{Pour tout } 1 \leq i \leq j \leq n, \quad \left\langle \frac{\partial f}{\partial x_i}, \frac{\partial f}{\partial x_j} \right\rangle = g_{ij}$$

# Le théorème de Nash-Kuiper

**Définition.**– Une application  $f : (M^n, g) \xrightarrow{C^1} \mathbb{E}^q$  est dite *courte* (au sens strict) si  $f^*\langle \cdot, \cdot \rangle < g$ .

# Le théorème de Nash-Kuiper

**Définition.**— Une application  $f : (M^n, g) \xrightarrow{C^1} \mathbb{E}^q$  est dite *courte* (au sens strict) si  $f^*\langle \cdot, \cdot \rangle < g$ .



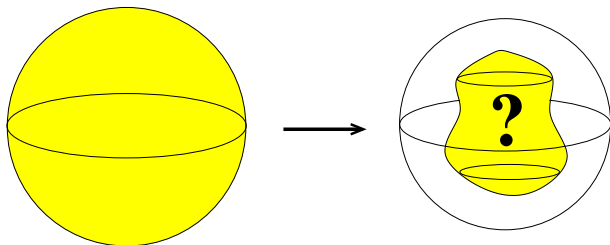
*John Forbes Nash*



*Nicolaas Kuiper*

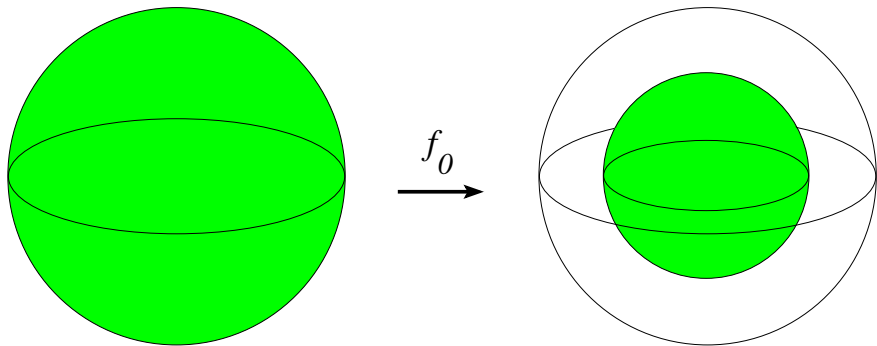
**Théorème (1954-55-86).**— Soient  $M^n$  compacte et  $f_0 : (M^n, g) \xrightarrow{C^1} \mathbb{E}^q$  un plongement court. Alors, pour tout  $\epsilon > 0$ , il existe un plongement  $C^1$ -isométrique  $f : (M^n, g) \rightarrow \mathbb{E}^q$  tel que  $\|f - f_0\|_{C^0} \leq \epsilon$ .

# Sphère réduite

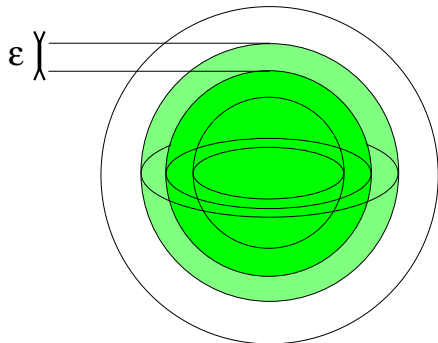
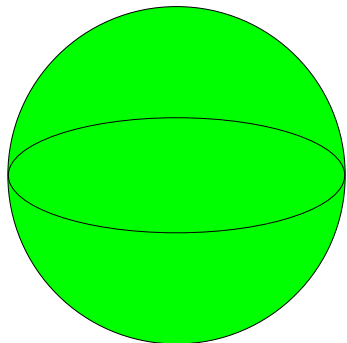


**Définition.**– Une *sphère réduite* est l'image par un plongement isométrique d'une sphère unité de  $\mathbb{E}^3$  dans une boule de rayon strictement plus petit que 1.

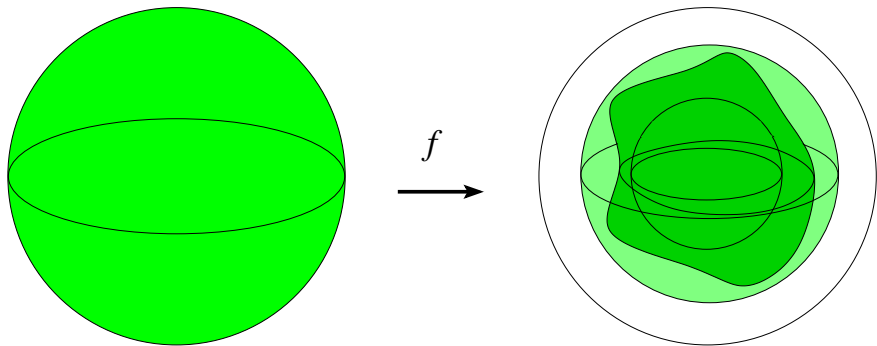
# Un corollaire : l'existence de sphères réduites $C^1$



# Un corollaire : l'existence de sphères réduites $C^1$



# Un corollaire : l'existence de sphères réduites $C^1$

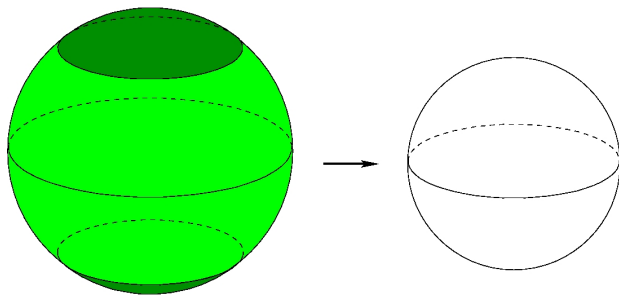


## 2012-2017 : Une construction explicite

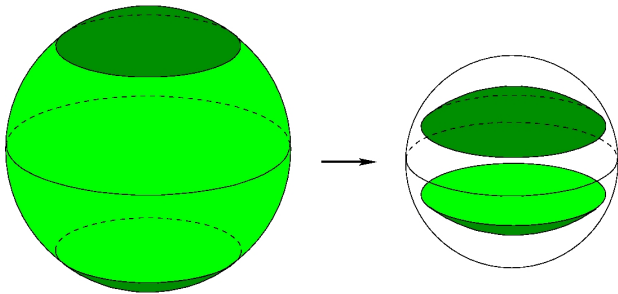


- Vangelis Bartzos : étudiant M2 à l'ENS de Lyon
- Roland Denis : ingénieur de recherche à l'ICJ (Lyon 1)
- Francis Lazarus : directeur de recherche au Gipsa-Lab (Grenoble)
- Damien Rohmer : professeur au LIX (École Polytechnique)
- Boris Thibert : maître de conférences au LJK (Grenoble)

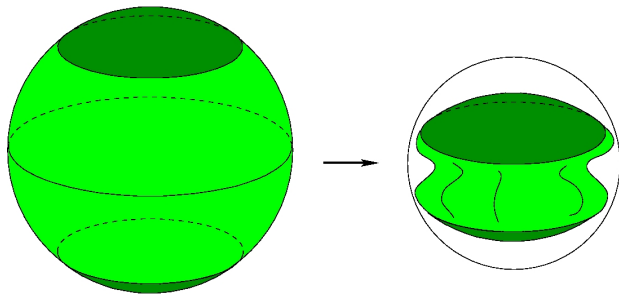
# Une construction explicite d'une sphère réduite



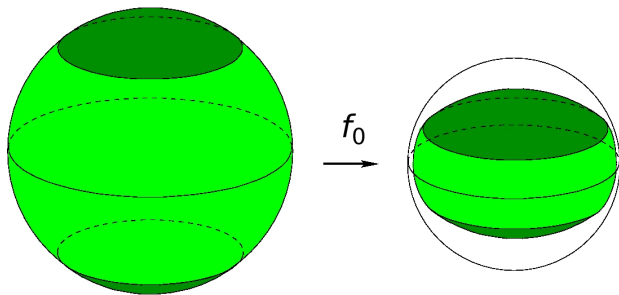
# Un scalp



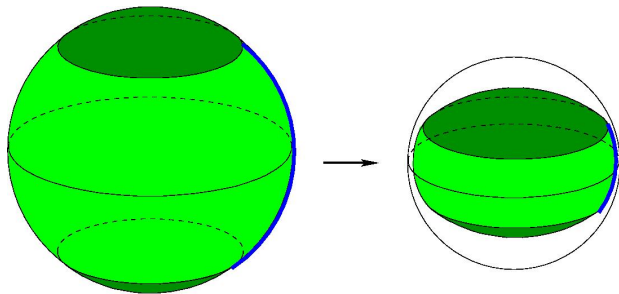
# Un plongement isométrique



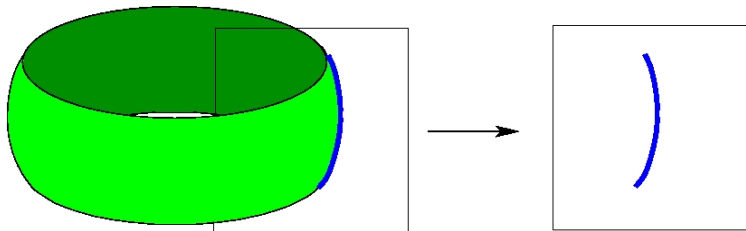
# Un plongement court



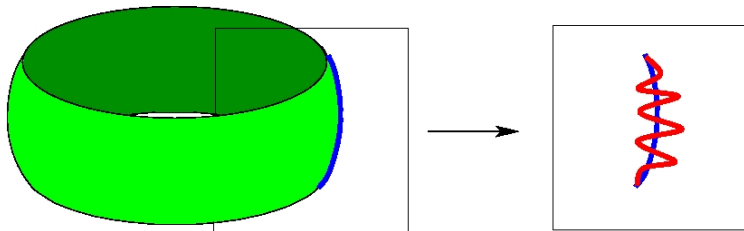
# Un plongement court



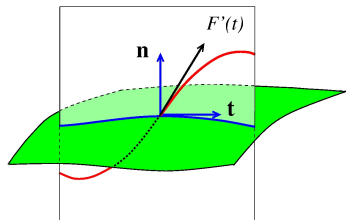
# Élongation...



... par oscillations



# L'intégration convexe



**Objectif.**— Étant donné un nombre  $\delta > 0$ , une application  $f_0 : [0, 1] \rightarrow S \subset \mathbb{R}^3$  et une fonction

$$r : [0, 1] \rightarrow \mathbb{R}^+$$

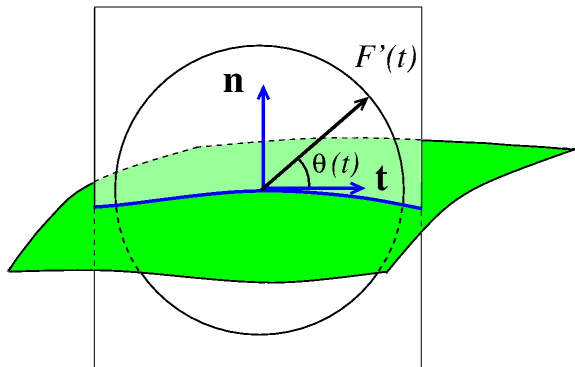
telle que

$$\forall t \in [0, 1], \quad r(t) > \|f'_0(t)\|,$$

trouver  $F : [0, 1] \rightarrow \mathbb{R}^3$  telle que

- i)  $\forall t \in [0, 1], \quad F'(t) \in \text{Vect}(f'_0(t), \mathbf{n})$
- ii)  $\forall t \in [0, 1], \quad \|F'(t)\| = r(t)$
- iii)  $\|F - f_0\|_{C^0} \leq \delta$

# L'intégration convexe

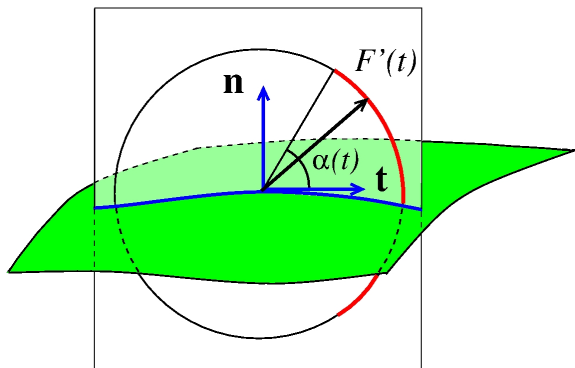


- Pour satisfaire *i*) et *ii*) on doit nécessairement choisir  $F'$  de la forme

$$F'(t) = r(t)e^{i\theta(t)}$$

où  $\theta : [0, 1] \rightarrow \mathbb{R}$  et  $e^{i\theta} := \cos \theta \mathbf{t} + \sin \theta \mathbf{n}$  avec  $\mathbf{t} := \frac{f'_0}{\|f'_0\|}$ .

# L'intégration convexe



- Si l'on veut créer des oscillations, un choix possible pour  $\theta$  est

$$\theta(t) = \alpha(t) \cos 2\pi Nt$$

où  $N \in \mathbb{N}^*$  est le nombre d'oscillations et  $\alpha : [0, 1] \rightarrow \mathbb{R}_+$  est fonction.

# La $C^0$ -densité

- Pour tout  $t \in [0, 1]$ , on pose

$$F(t) := f_0(0) + \int_0^t r(u) e^{i\alpha(u) \cos 2\pi N u} du$$

# La $C^0$ -densité

- Pour tout  $t \in [0, 1]$ , on pose

$$F(t) := f_0(0) + \int_0^t r(u) e^{i\alpha(u) \cos 2\pi N u} du$$

**Lemme fondamental de l'intégration convexe.** – Si pour tout  $t \in [0, 1]$ , le nombre  $\alpha(t)$  est choisi telle que

$$\int_0^1 r(t) e^{i\alpha(t) \cos(2\pi s)} ds = f_0'(t)$$

alors  $F$  vérifie

$$\|F - f_0\|_{C^0} = O\left(\frac{1}{N}\right)$$

# La $C^0$ -densité

- Pour tout  $t \in [0, 1]$ , on pose

$$F(t) := f_0(0) + \int_0^t r(u) e^{i\alpha(u) \cos 2\pi N u} du$$

**Lemme fondamental de l'intégration convexe.**— Si pour tout  $t \in [0, 1]$ , le nombre  $\alpha(t)$  est choisi telle que

$$\int_0^1 r(t) e^{i\alpha(t) \cos(2\pi s)} ds = f_0'(t)$$

alors  $F$  vérifie

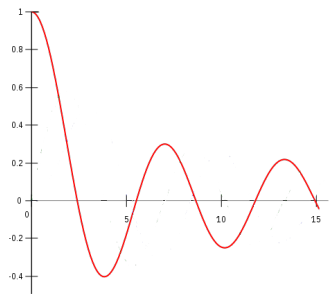
$$\|F - f_0\|_{C^0} = O\left(\frac{1}{N}\right)$$

**Vocabulaire.**— On dit que l'application  $F$  a été obtenue à partir de  $f_0$  par *intégration convexe*.

# La $C^0$ -densité

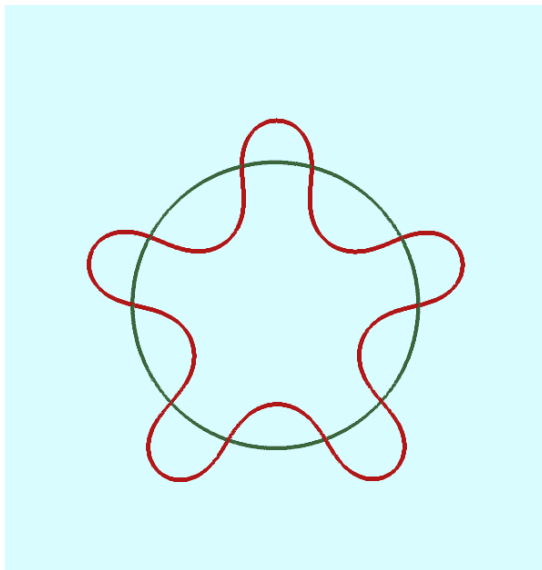
**Observation.**— On dispose d'une formule pour déterminer  $\alpha(t)$  au moyen d'une réciproque de la fonction de Bessel  $J_0$  de degré 0 :

$$\alpha(t) = J_0^{-1} \left( \frac{\|f'_0(t)\|}{r(t)} \right)$$

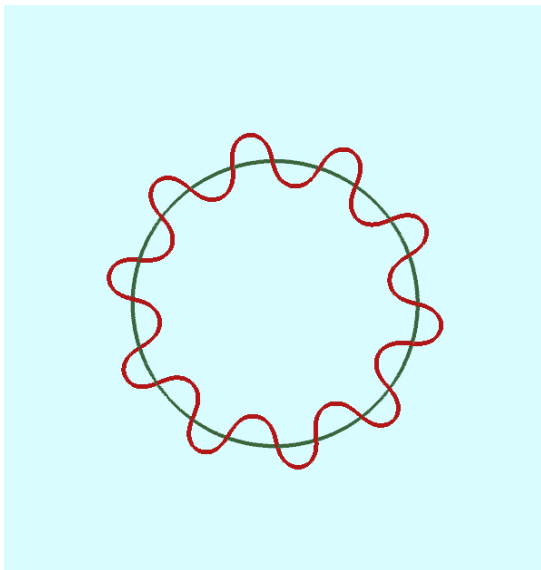


Graphe de la fonction de Bessel  $J_0$

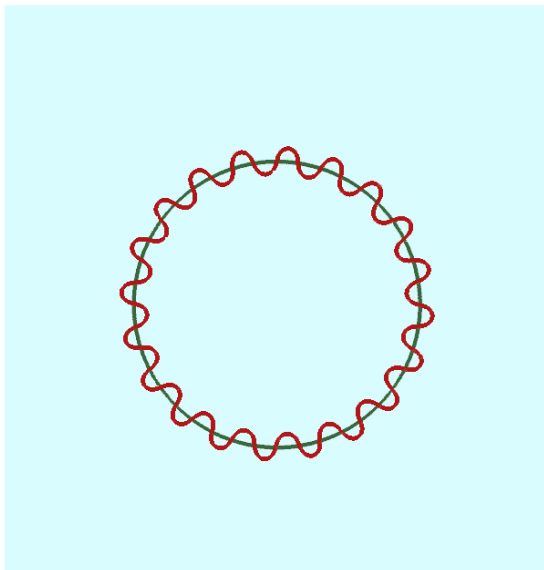
# La $C^0$ -densité, $N = 5$



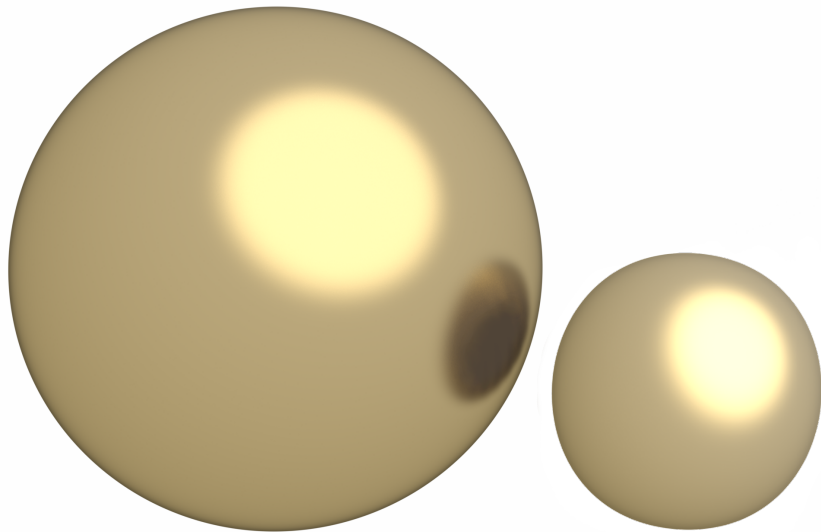
# La $C^0$ -densité, $N = 10$



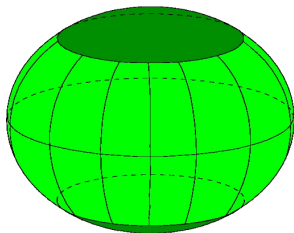
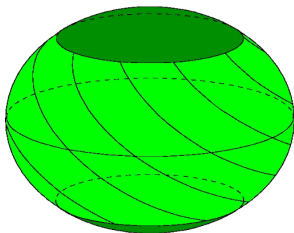
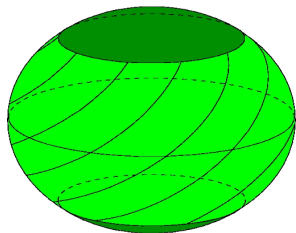
La  $C^0$ -densité,  $N = 20$



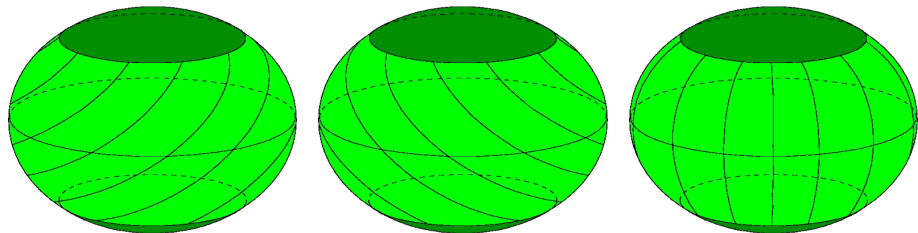
# Stratégie



# Stratégie

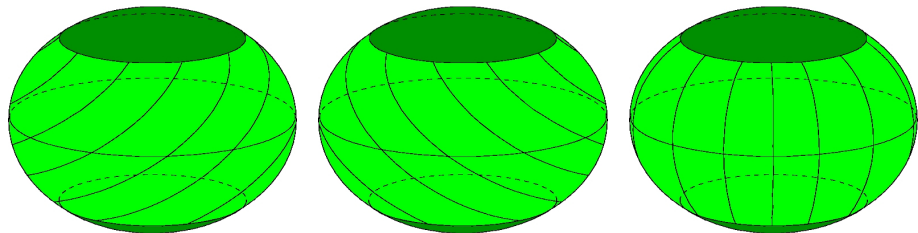


# Stratégie



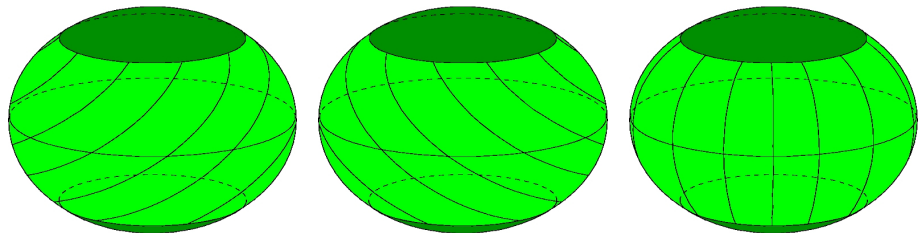
- Il suffit d'allonger trois familles de courbes pour allonger n'importe quelle courbe de la surface initiale.

# Stratégie



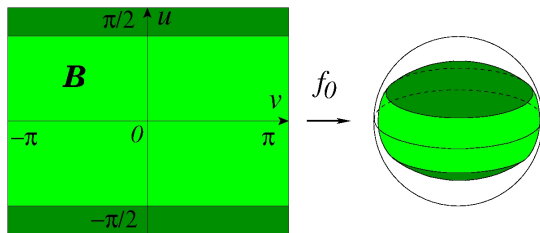
- Il suffit d'allonger trois familles de courbes pour allonger n'importe quelle courbe de la surface initiale.
- Si on s'y prend bien, le **défaut isométrique** de la surface qui en résulte est moitié plus petit que celui de la surface de départ.

# Stratégie



- Il suffit d'allonger trois familles de courbes pour allonger n'importe quelle courbe de la surface initiale.
- Si on s'y prend bien, le **défaut isométrique** de la surface qui en résulte est moitié plus petit que celui de la surface de départ.
- Il ne reste plus qu'à itérer le procédé une infinité de fois...

# Réduire le défaut isométrique



On note

$$\Delta := g_{\text{sphère}} - f_0^* \langle \cdot, \cdot \rangle$$

le défaut isométrique. Remarquons que

- $\Delta \equiv 0$  sur les calottes
- $\Delta$  est une métrique sur  $\mathcal{B}$ .
- $\Delta = Edu \otimes du + F(du \otimes dv + dv \otimes du) + Gdv \otimes dv$

# Réduire le défaut isométrique

On pose

$$\ell_1 := du + dv = \left\langle \begin{pmatrix} 1 \\ 1 \end{pmatrix}, \cdot \right\rangle = \langle U_1, \cdot \rangle$$

$$\ell_2 := du - dv = \left\langle \begin{pmatrix} 1 \\ -1 \end{pmatrix}, \cdot \right\rangle = \langle U_2, \cdot \rangle$$

$$\ell_3 := du = \left\langle \begin{pmatrix} 1 \\ 0 \end{pmatrix}, \cdot \right\rangle = \langle U_3, \cdot \rangle$$

et on décompose le défaut isométrique en

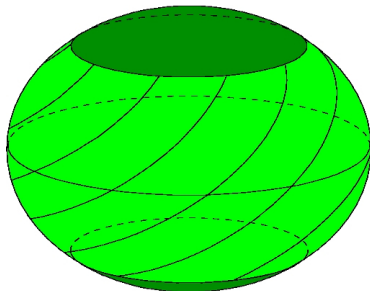
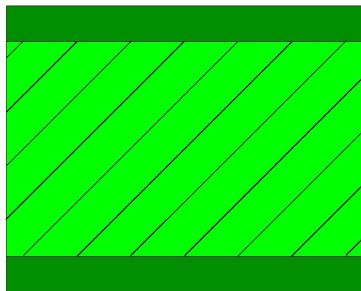
$$\Delta = \rho_1 \ell_1 \otimes \ell_1 + \rho_2 \ell_2 \otimes \ell_2 + \rho_3 \ell_3 \otimes \ell_3$$

- On choisit  $f_0$  telle que  $\rho_1 > 0$ ,  $\rho_2 > 0$  et  $\rho_3 > 0$  sur  $\mathcal{B}$  (c'est possible)

## Réduire le défaut isométrique

**Stratégie.**— Pour chaque  $j \in \{1, 2, 3\}$ , on allonge la famille de courbes donnée par  $\ell_j$  afin de faire disparaître le facteur  $\rho_j$  du défaut isométrique

$$\Delta = \rho_1 \ell_1 \otimes \ell_1 + \rho_2 \ell_2 \otimes \ell_2 + \rho_3 \ell_3 \otimes \ell_3$$



La famille de courbes donnée par  $\ell_1$

# Réduire le défaut isométrique

- Cette allongement se fait au moyen d'une intégration convexe appliquée à toutes les courbes de la famille.

## Réduire le défaut isométrique

- Cette allongement se fait au moyen d'une intégration convexe appliquée à toutes les courbes de la famille.
- Par exemple pour  $j = 1$ , on construit à partir de  $f_0$  une nouvelle application  $F$  en prenant

$$r = \sqrt{\rho_1 + \|df_0(U_1)\|^2}.$$

Ainsi

$$g_{\text{sphère}} - F^*\langle \cdot, \cdot \rangle = \rho'_2 \ell_2 \otimes \ell_2 + \rho'_3 \ell_3 \otimes \ell_3$$

avec  $\rho'_2 = \rho_2 + O(\frac{1}{N_1})$  et  $\rho'_3 = \rho_3 + O(\frac{1}{N_1})$

## Réduire le défaut isométrique

- Cette allongement se fait au moyen d'une intégration convexe appliquée à toutes les courbes de la famille.
- Par exemple pour  $j = 1$ , on construit à partir de  $f_0$  une nouvelle application  $F$  en prenant

$$r = \sqrt{\rho_1 + \|df_0(U_1)\|^2}.$$

Ainsi

$$g_{\text{sphère}} - F^*\langle \cdot, \cdot \rangle = \rho'_2 \ell_2 \otimes \ell_2 + \rho'_3 \ell_3 \otimes \ell_3$$

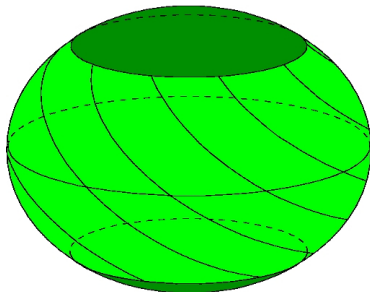
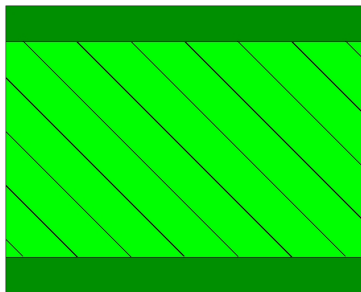
avec  $\rho'_2 = \rho_2 + O(\frac{1}{N_1})$  et  $\rho'_3 = \rho_3 + O(\frac{1}{N_1})$

- Le nouveau défaut isométrique =  $\rho'_2 \ell_2 \otimes \ell_2 + \rho'_3 \ell_3 \otimes \ell_3$

# Intégration convexe « le long » de $\ell_1$

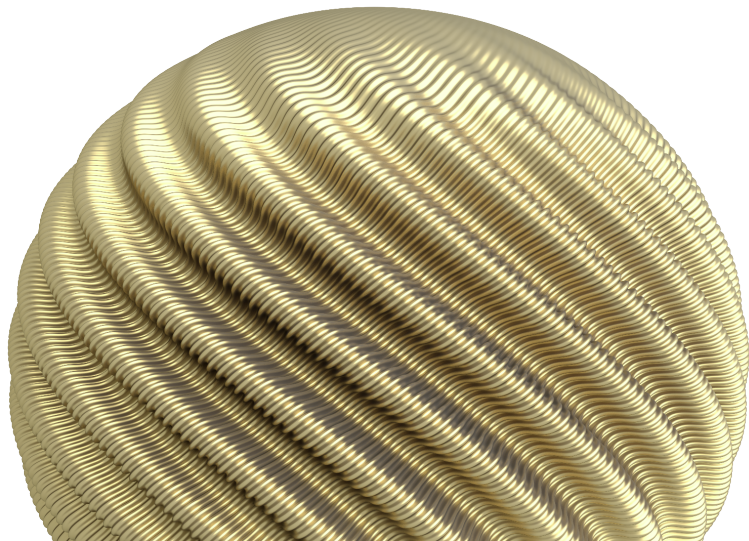


## Intégration convexe « le long » de $\ell_2$



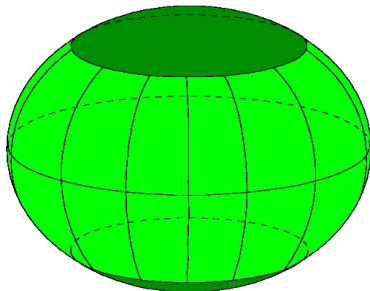
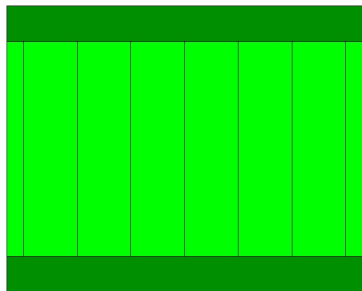
- On réalise une nouvelle intégration convexe « le long » de  $\ell_2$  afin de faire disparaître le facteur  $\rho'_2$  du défaut isométrique.

## Intégration convexe « le long » de $\ell_2$



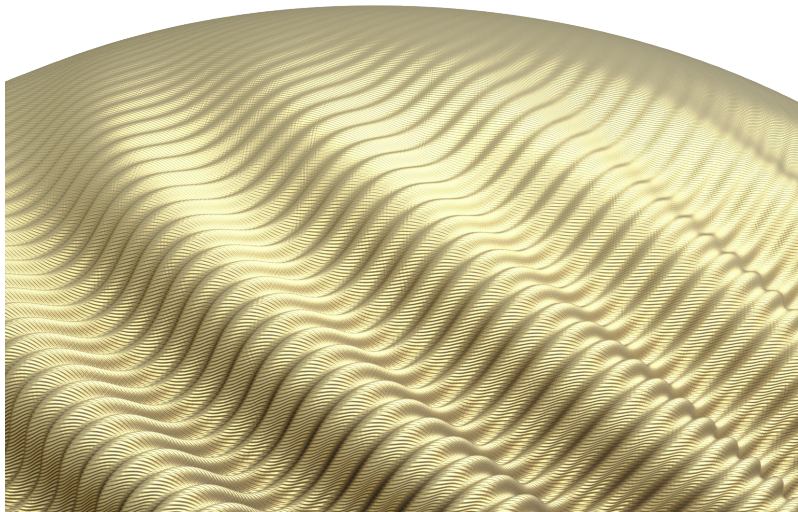
Le nouveau défaut isométrique =  $\rho_3'' \ell_3 \otimes \ell_3 + O(\frac{1}{N_2}) \ell_1 \otimes \ell_1$

## Intégration convexe « le long » de $\ell_3$



- On réalise une troisième intégration convexe « le long » de  $\ell_3$  afin de faire disparaître la composante  $\rho_3''$  du défaut isométrique.

## Intégration convexe « le long » de $\ell_3$



Le nouveau défaut isométrique =  $O(\frac{1}{N_2} + \frac{1}{N_3})\ell_1 \otimes \ell_1 + O(\frac{1}{N_3})\ell_2 \otimes \ell_2$

## Ça coince !

- Le nouveau défaut isométrique  $\tilde{\Delta}$  n'est pas nul sur  $\mathcal{B}$  :

$$\tilde{\Delta} = \tilde{\rho}_1 l_1 \otimes l_1 + \tilde{\rho}_2 l_2 \otimes l_2$$

avec

$$|\tilde{\rho}_1| < \rho_1 \quad \text{et} \quad |\tilde{\rho}_2| < \rho_2$$

## Ça coince !

- Le nouveau défaut isométrique  $\tilde{\Delta}$  n'est pas nul sur  $\mathcal{B}$  :

$$\tilde{\Delta} = \tilde{\rho}_1 l_1 \otimes l_1 + \tilde{\rho}_2 l_2 \otimes l_2$$

avec

$$|\tilde{\rho}_1| < \rho_1 \quad \text{et} \quad |\tilde{\rho}_2| < \rho_2$$

- De plus, les coefficients  $\tilde{\rho}_1$  et  $\tilde{\rho}_2$  ne sont pas positifs en général.

## Ça coince !

- Le nouveau défaut isométrique  $\tilde{\Delta}$  n'est pas nul sur  $\mathcal{B}$  :

$$\tilde{\Delta} = \tilde{\rho}_1 l_1 \otimes l_1 + \tilde{\rho}_2 l_2 \otimes l_2$$

avec

$$|\tilde{\rho}_1| < \rho_1 \quad \text{et} \quad |\tilde{\rho}_2| < \rho_2$$

- De plus, les coefficients  $\tilde{\rho}_1$  et  $\tilde{\rho}_2$  ne sont pas positifs en général.
- Ce défaut est rédhibitoire : l'intégration convexe ne peut qu'allonger les courbes, pas les raccourcir.

## Ça coince !

- Le nouveau défaut isométrique  $\tilde{\Delta}$  n'est pas nul sur  $\mathcal{B}$  :

$$\tilde{\Delta} = \tilde{\rho}_1 l_1 \otimes l_1 + \tilde{\rho}_2 l_2 \otimes l_2$$

avec

$$|\tilde{\rho}_1| < \rho_1 \quad \text{et} \quad |\tilde{\rho}_2| < \rho_2$$

- De plus, les coefficients  $\tilde{\rho}_1$  et  $\tilde{\rho}_2$  ne sont pas positifs en général.
- Ce défaut est rédhibitoire : l'intégration convexe ne peut qu'allonger les courbes, pas les raccourcir.
- Nash contourne cet obstacle en cherchant à diviser le défaut isométrique par deux plutôt que de le réduire à zéro directement.

# Approche itérative

- On construit une suite

$$f_0, \quad F_{1,1}, F_{1,2}, F_{1,3}, \quad F_{2,1}, F_{2,2}, F_{2,3}, \quad \dots$$

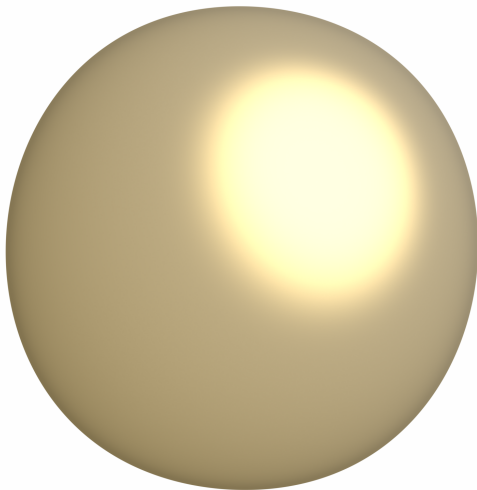
d'applications telles que

$$\|g_{\text{sphère}} - F_{k,3}^*(\cdot, \cdot)\|_{C^0} \leq \frac{\|\Delta\|_{C^0}}{2^k}$$

**Affirmation.**— Si les  $N_{k,j}$  croissent suffisamment vite, la suite des  $F_{k,3}$  converge au sens  $C^1$  vers une application  $F_\infty$   $C^0$ -proche de  $f_0$  et isométrique :

$$F_\infty^*(\cdot, \cdot) = g_{\text{sphère}}$$

Top départ !



# Première vague d'oscillations



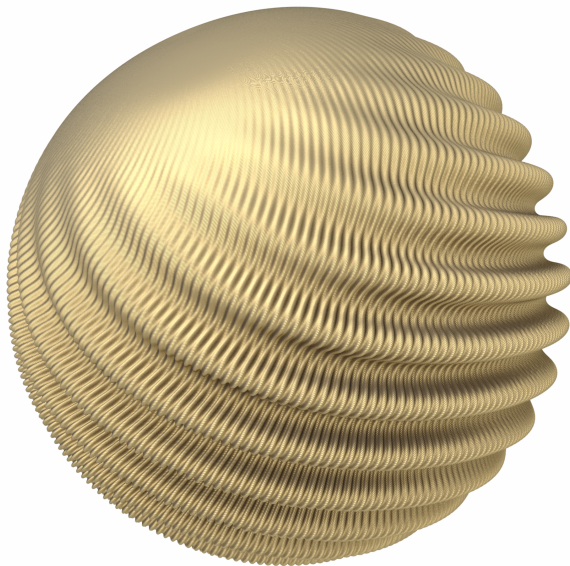
# Seconde vague d'oscillations



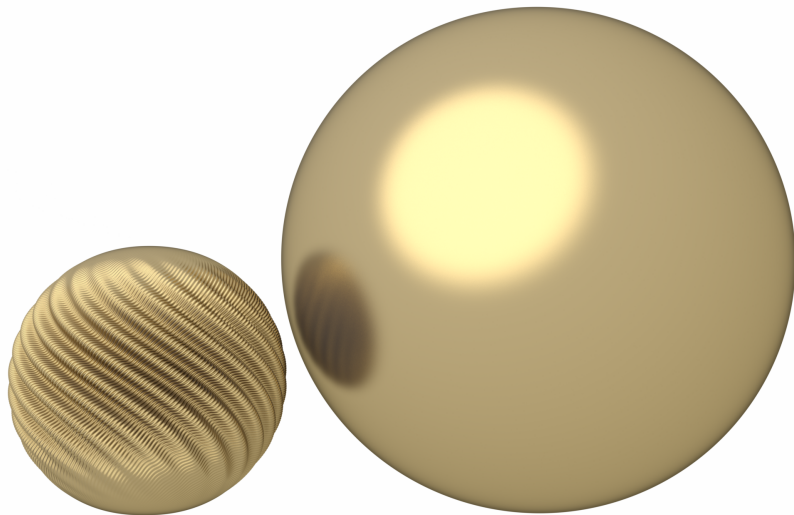
# Troisième vague d'oscillations



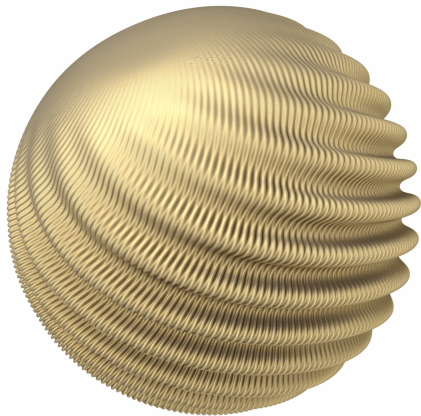
# Une sphère réduite



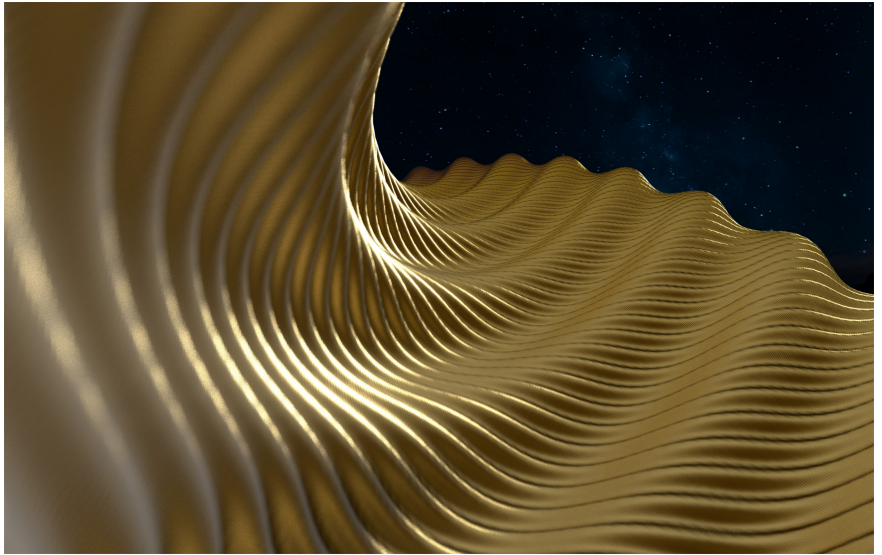
# Le facteur de réduction



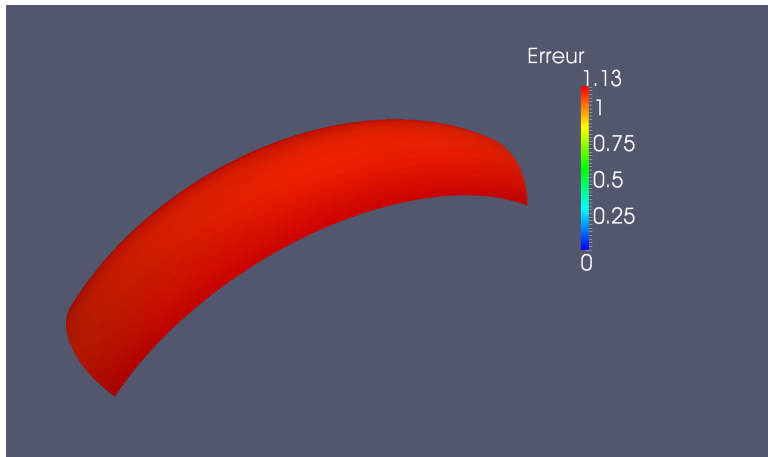
# La Terre dans une balle de ping-pong ?



# Structure géométrique de $F_\infty$

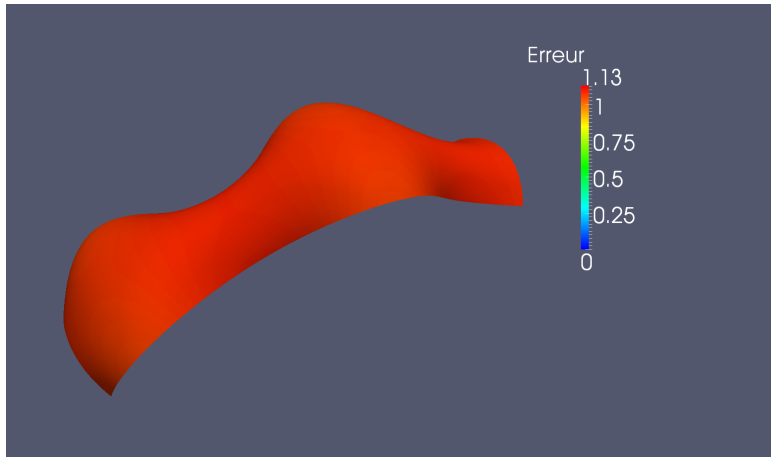


$f_0$



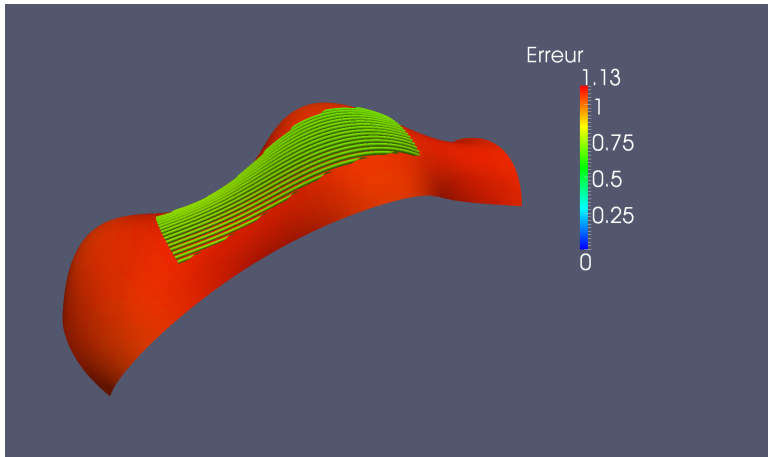
*Une portion de la surface initiale*

$F_{1,1}$



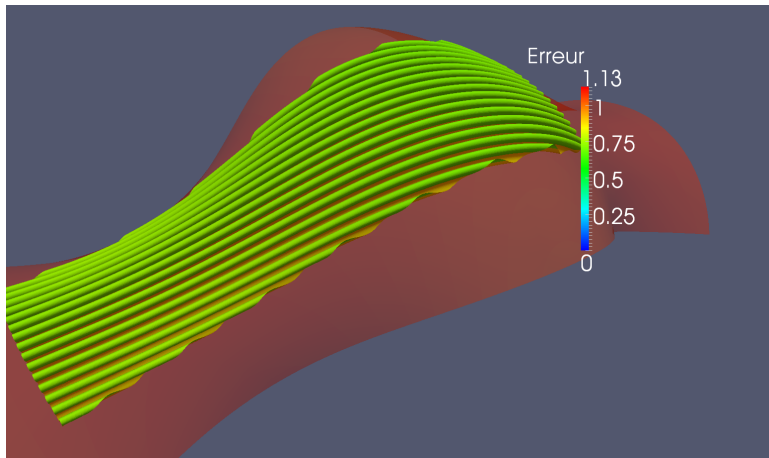
*Première intégration : 8 oscillations*

$F_{1,2}$



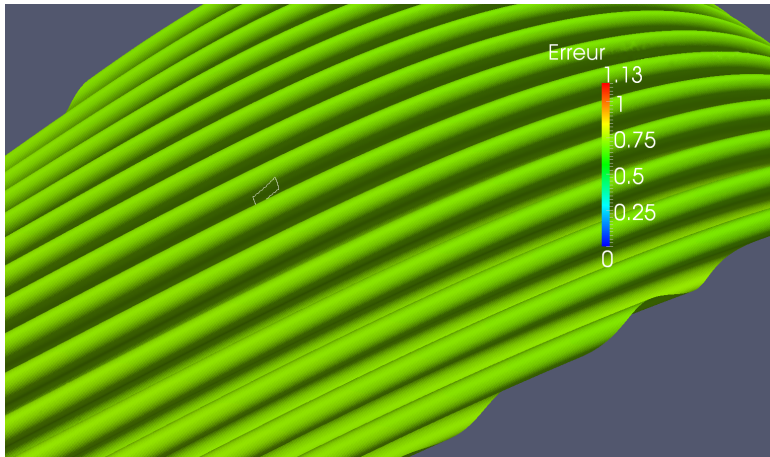
*Deuxième intégration : 64 oscillations*

$F_{1,2}$



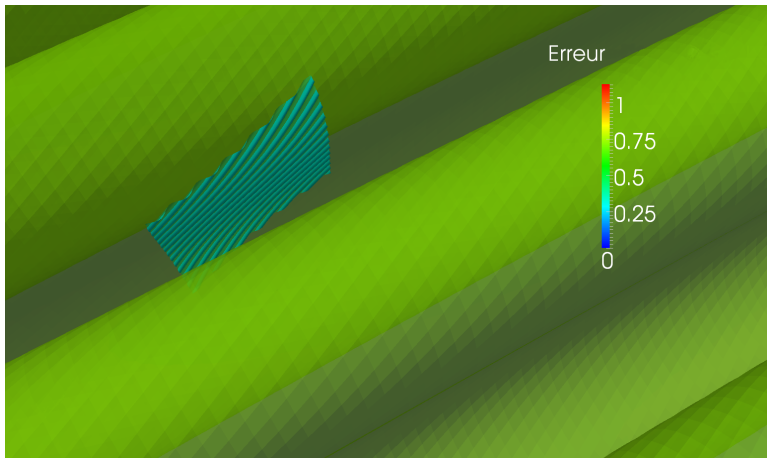
*Zoom sur la deuxième intégration*

$F_{1,2}$



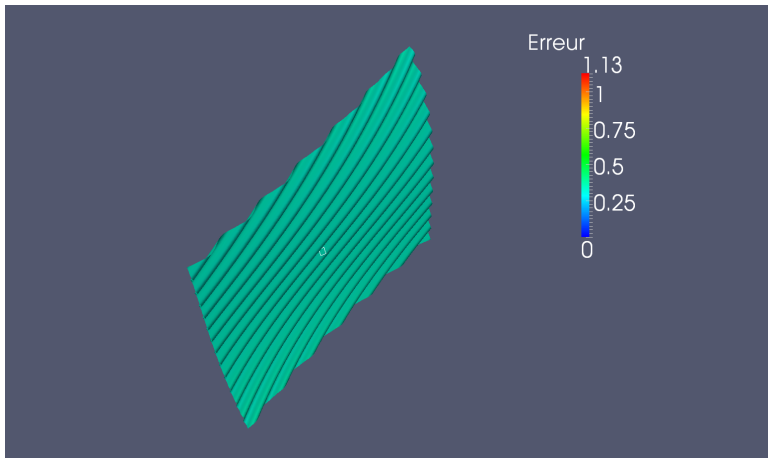
*Encore plus près*

$F_{1,3}$



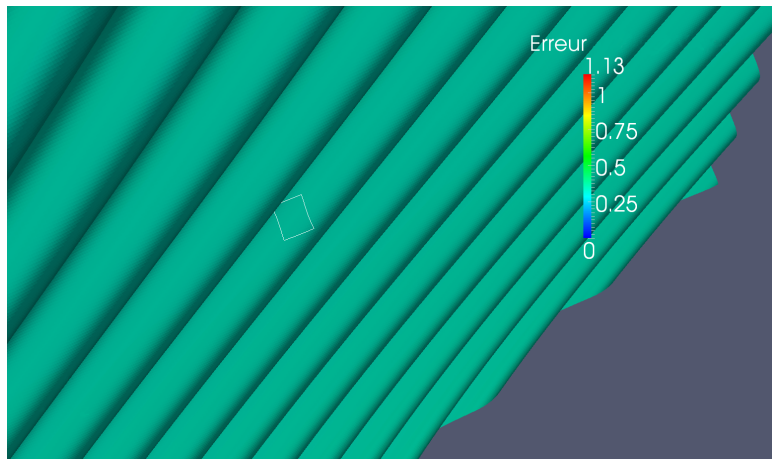
*Troisième intégration : 4096 oscillations*

$F_{1,3}$



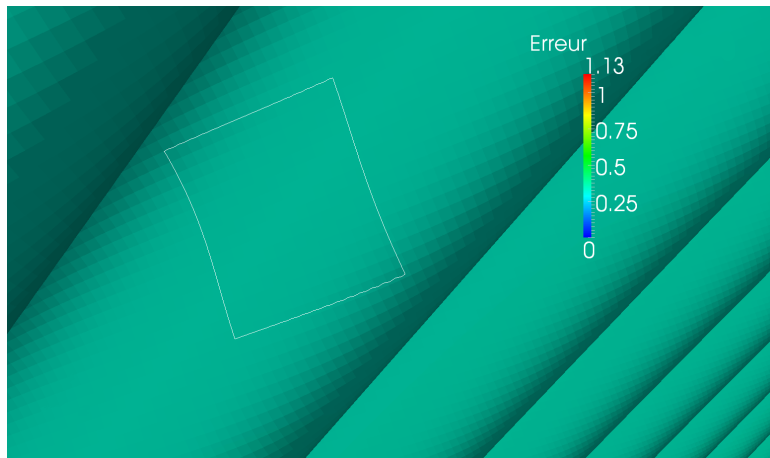
*Troisième intégration : 4096 oscillations*

$F_{1,3}$



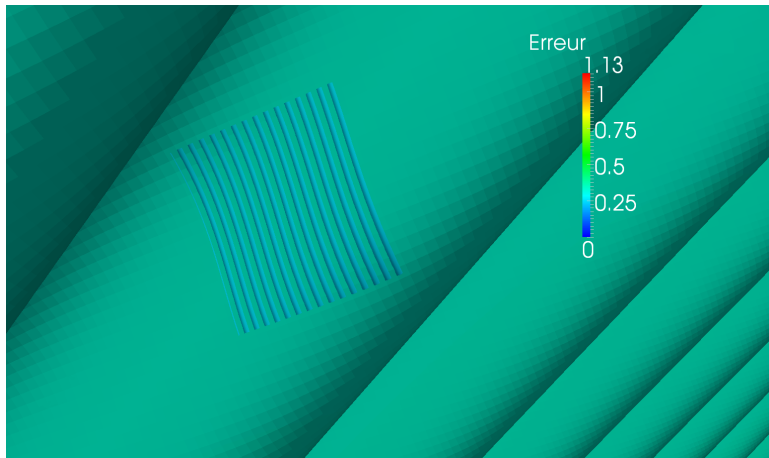
*Zoom sur la troisième intégration*

$F_{1,3}$



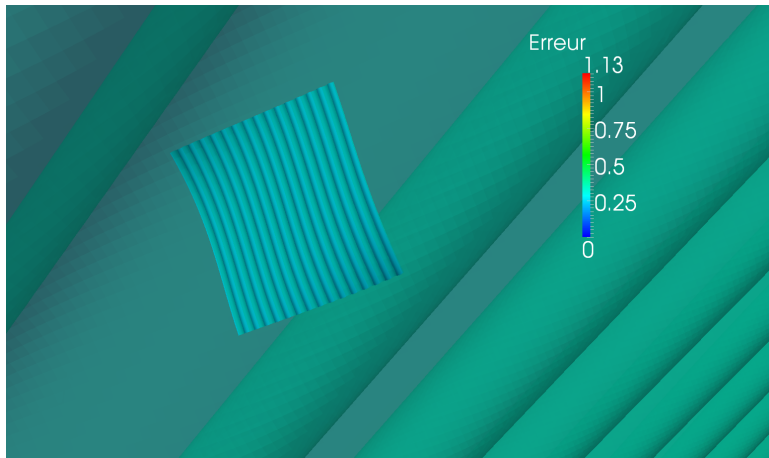
*Encore plus près*

$F_{2,1}$



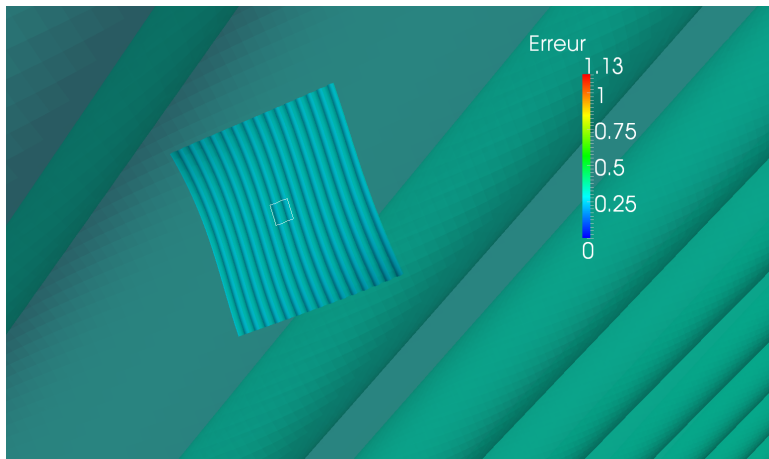
*La quatrième intégration : 524 288 oscillations*

$F_{2,1}$



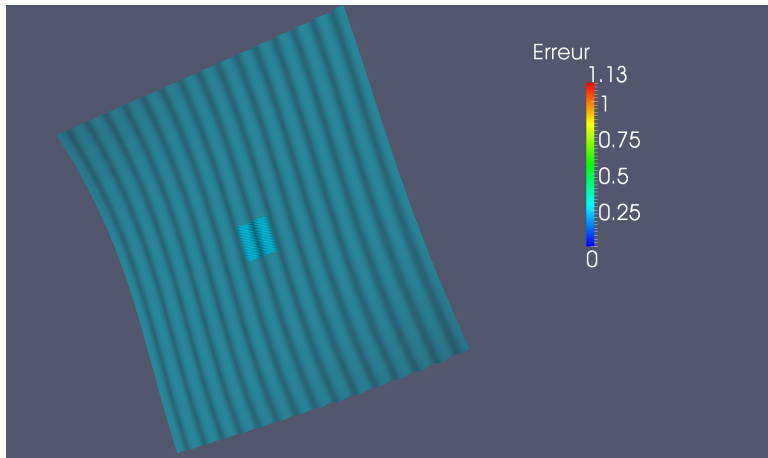
*La quatrième intégration : 524 288 oscillations*

$F_{2,1}$



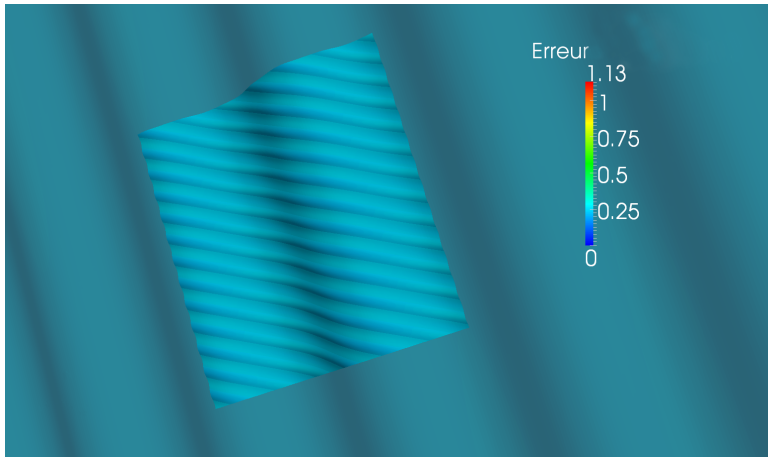
*La quatrième intégration : 524 288 oscillations*

$F_{2,2}$



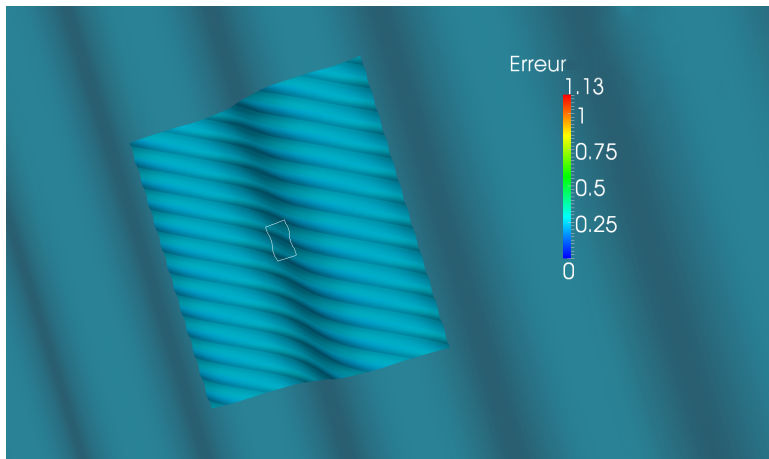
*La cinquième intégration : 2 097 152 oscillations*

$F_{2,2}$



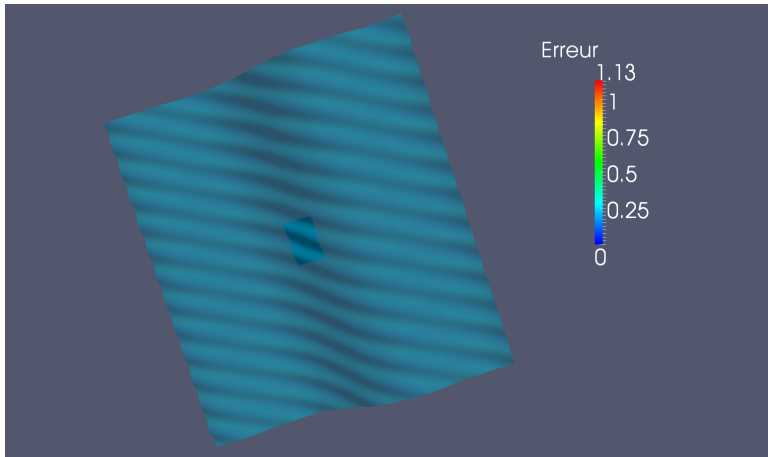
*La cinquième intégration : 2 097 152 oscillations*

$F_{2,2}$



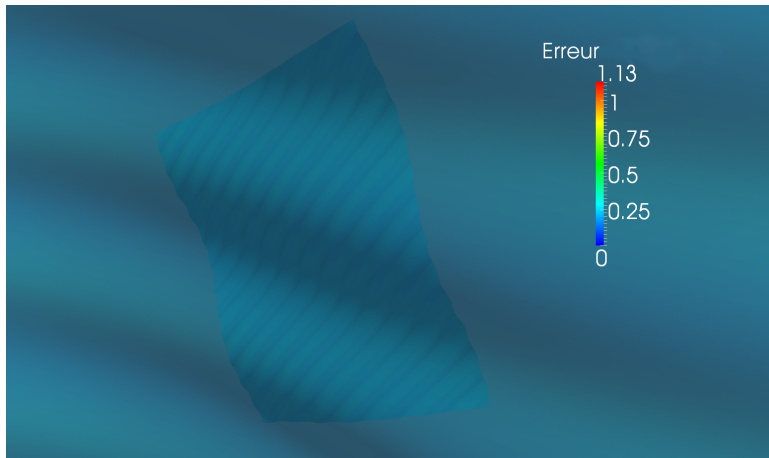
*La cinquième intégration : 2 097 152 oscillations*

$F_{2,3}$



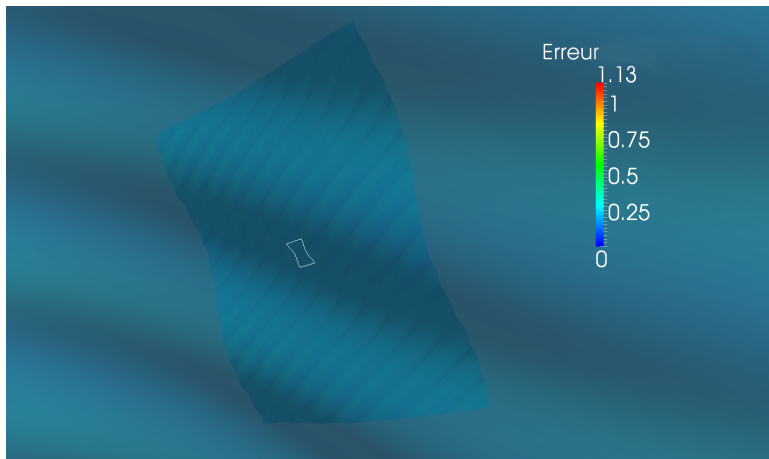
*La sixième intégration : 16 777 216 oscillations*

$F_{2,3}$



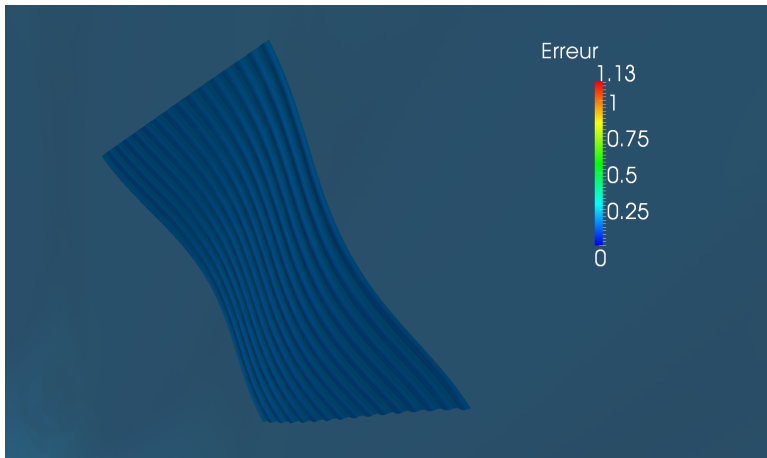
*Zoom sur la sixième intégration*

$F_{2,3}$



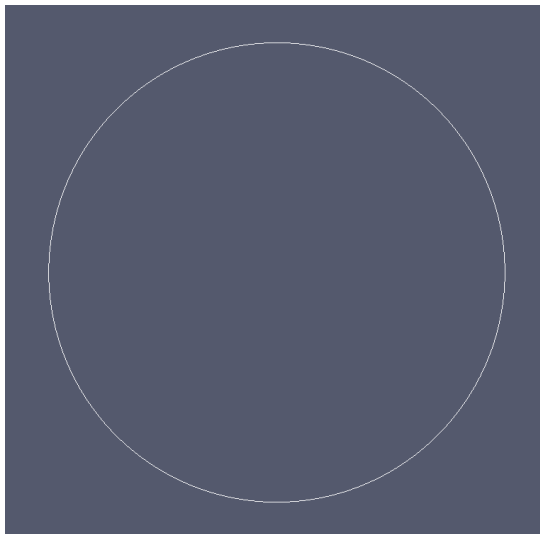
*Zoom sur la sixième intégration*

$F_{3,1}$



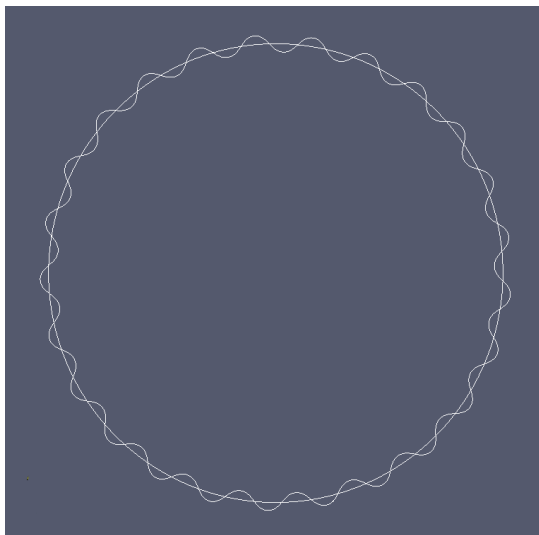
*La septième intégration : 536 870 912 oscillations*

# Nash-Kuiper unidimensionnel



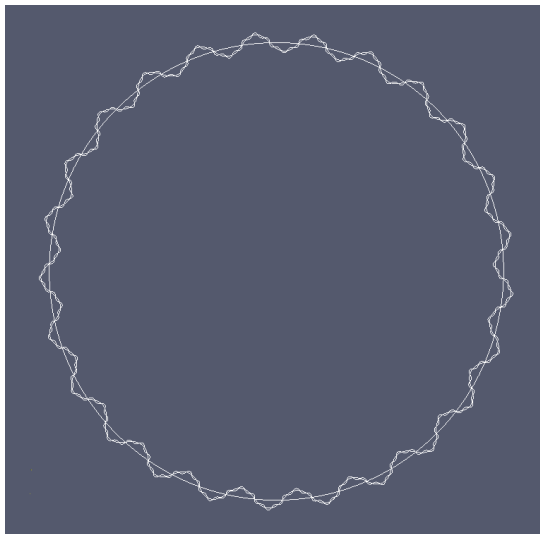
L'application initiale  $f_0$

# Nash-Kuiper unidimensionnel



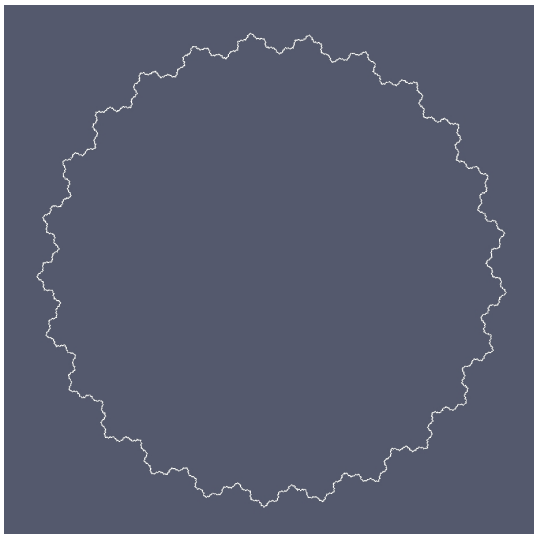
L'application  $f_1$  obtenue à partir de  $f_0$  par intégration convexe

# Nash-Kuiper unidimensionnel



L'application  $f_2$  obtenue à partir de  $f_1$  par intégration convexe

# Nash-Kuiper unidimensionnel

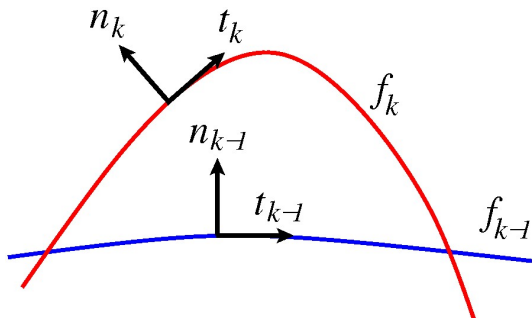


L'application limite  $f_\infty$  (de classe  $C^1$ )

# Matrices de corrugations

- Soit  $C_k : \mathbb{S}^1 \rightarrow O(2)$  définie par

$$\forall u \in \mathbb{S}^1, \begin{pmatrix} t_k(u) \\ n_k(u) \end{pmatrix} = C_k(u) \cdot \begin{pmatrix} t_{k-1}(u) \\ n_{k-1}(u) \end{pmatrix}$$



On appelle  $C_k$  une **matrice de corrugations**.

# Structure de l'application de Gauss

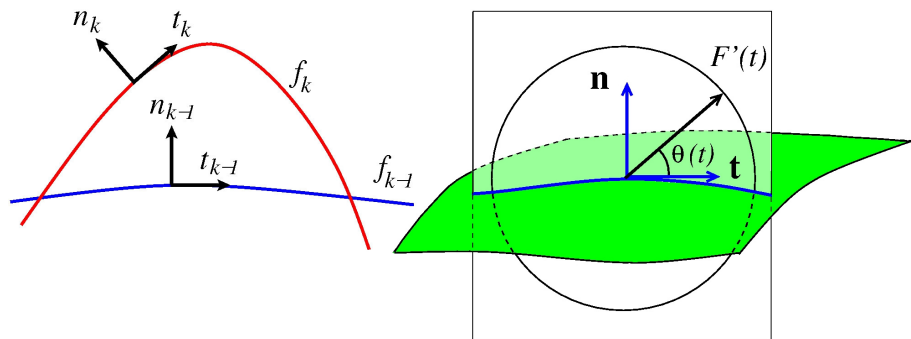
- L'effet des intégrations convexes successives est formalisé au moyen d'une suite de matrices de corrugations :

$$C_k(u) := \begin{pmatrix} \cos \theta_k(u) & \sin \theta_k(u) \\ -\sin \theta_k(u) & \cos \theta_k(u) \end{pmatrix}$$

avec

$$\theta_k(u) = ?$$

## Retour à l'intégration convexe



- Notre choix de  $\theta$  :

$$\theta(t) = \alpha(t) \cos 2\pi Nt$$

# Structure de l'application de Gauss

- L'effet des intégrations convexes successives est formalisé au moyen d'une suite de matrices de corrugations :

$$C_k(u) := \begin{pmatrix} \cos \theta_k(u) & \sin \theta_k(u) \\ -\sin \theta_k(u) & \cos \theta_k(u) \end{pmatrix}$$

où

$$\theta_k(u) = \alpha_k \cos(2\pi N_k u).$$

- L'application de Gauss  $n_\infty$  du plongement limite est donnée par un produit infini :

$$\begin{pmatrix} t_\infty \\ n_\infty \end{pmatrix} = \left( \prod_{k=1}^{\infty} C_k \right) \cdot \begin{pmatrix} t_0 \\ n_0 \end{pmatrix}$$

qui est analogue à un *produit de Riesz*.

# Produits de Riesz



*Frigyes Riesz*

- Ce sont les produits infinis de la forme :

$$u \mapsto \prod_{k=0}^{\infty} (1 + \alpha_k \cos(2\pi N^k u))$$

où  $N \geq 3$  est un entier et  $(\alpha_k)_{k \in \mathbb{N}}$  une suite de nombres réels telle que, pour tout  $k \in \mathbb{N}$ ,  $|\alpha_k| \leq 1$ .

# Produits de Riesz



Frigyes Riesz

- Ce sont les produits infinis de la forme :

$$u \mapsto \prod_{k=0}^{\infty} (1 + \alpha_k \cos(2\pi N^k u))$$

où  $N \geq 3$  est un entier et  $(\alpha_k)_{k \in \mathbb{N}}$  une suite de nombres réels telle que, pour tout  $k \in \mathbb{N}$ ,  $|\alpha_k| \leq 1$ .

- Dans notre contexte, les facteurs du produit de Riesz sont remplacés par les *matrices de corrugations*. En identifiant  $\mathbb{R}^2$  à  $\mathbb{C}$ , on peut écrire

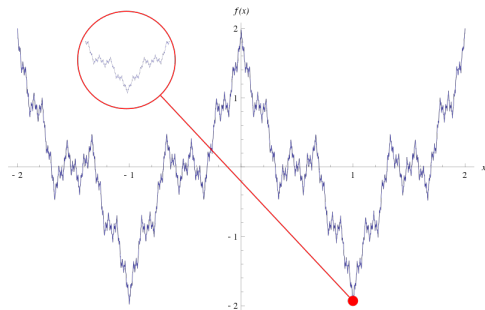
$$n_{\infty}(u) = \prod_{k=0}^{\infty} e^{i\alpha_k \cos(2\pi N_k u)} n_0(u)$$

# Fonction de Weierstrass

- Ainsi :  $n_\infty(u) = e^{iW(u)} n_0(u)$  avec  $W(u) = \sum_{k=0}^{\infty} \alpha_k \cos(2\pi N_k u)$ .

# Fonction de Weierstrass

- Ainsi :  $n_\infty(u) = e^{iW(u)} n_0(u)$  avec  $W(u) = \sum_{k=0}^{\infty} \alpha_k \cos(2\pi N_k u)$ .



- Si  $\alpha_k = a^k$ ,  $N_k = b^k$  avec  $0 < a < 1 < ab$ , la série  $W$  est la *fonction de Weierstrass*. La dimension de son graphe est conjecturalement

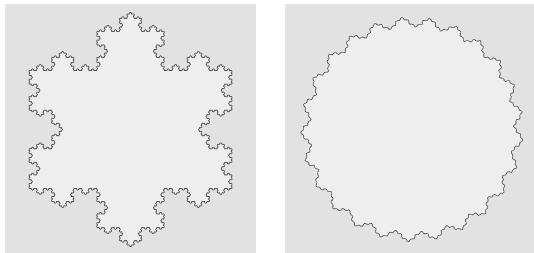
$$2 + \ln(a)/\ln(b).$$

# Fractale $C^1$

**Bilan.**— Le procédé de Nash-Kuiper unidimensionnel construit une application limite  $f_\infty$  de classe  $C^1$ . L'application normale  $n_\infty$  est de classe  $C^0$ , elle s'exprime comme un produit de Riesz et possède conjecturalement une structure fractale.

# Fractale $C^1$

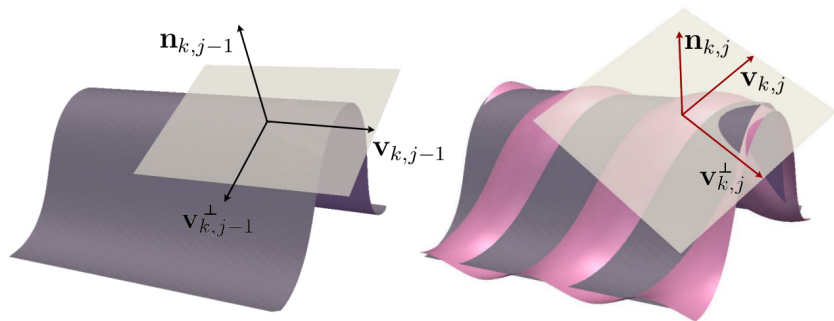
**Bilan.**– Le procédé de Nash-Kuiper unidimensionnel construit une application limite  $f_\infty$  de classe  $C^1$ . L'application normale  $n_\infty$  est de classe  $C^0$ , elle s'exprime comme un produit de Riesz et possède conjecturalement une structure fractale.



Le flocon de Von Koch et une courbe fractale  $C^1$

**Définition.**– On dit qu'une courbe a une structure *fractale*  $C^1$  si le graphe de son application normale est fractale.

# Du cercle aux surfaces



Soit  $\mathcal{C}_{k,j} \in SO(3)$  telle que

$$\begin{pmatrix} v_{k,j}^\perp \\ v_{k,j} \\ n_{k,j} \end{pmatrix} = \mathcal{C}_{k,j} \cdot \begin{pmatrix} v_{k,j-1}^\perp \\ v_{k,j-1} \\ n_{k,j-1} \end{pmatrix}.$$

## Du cercle aux surfaces

Soit  $F_\infty : (\Sigma^2, g) \longrightarrow \mathbb{E}^3$  la limite de la suite :

$$f_0, \quad F_{1,1}, F_{1,2}, F_{1,3}, \quad F_{2,1}, F_{2,2}, F_{2,3}, \quad \dots$$

on a

$$\begin{pmatrix} v_\infty^\perp \\ v_\infty \\ n_\infty \end{pmatrix} = \prod_{k=1}^{\infty} \begin{pmatrix} 3 \\ \prod_{j=1}^3 C_{k,j} \end{pmatrix} \cdot \begin{pmatrix} v_0^\perp \\ v_0 \\ n_0 \end{pmatrix}$$

## Du cercle aux surfaces

Soit  $F_\infty : (\Sigma^2, g) \rightarrow \mathbb{E}^3$  la limite de la suite :

$$f_0, \quad F_{1,1}, F_{1,2}, F_{1,3}, \quad F_{2,1}, F_{2,2}, F_{2,3}, \quad \dots$$

on a

$$\begin{pmatrix} v_\infty^\perp \\ v_\infty \\ n_\infty \end{pmatrix} = \prod_{k=1}^{\infty} \begin{pmatrix} 3 \\ \prod_{j=1}^3 C_{k,j} \end{pmatrix} \cdot \begin{pmatrix} v_0^\perp \\ v_0 \\ n_0 \end{pmatrix}$$

**Remarque.** – Contrairement au cas unidimensionnel, les expressions analytiques des matrices  $C_{k,j}$  sont peu maniables. En particulier, la comparaison avec un produit de Riesz n'est pas claire.

## Du cercle aux surfaces

Soit  $F_\infty : (\Sigma^2, g) \longrightarrow \mathbb{E}^3$  la limite de la suite :

$$f_0, \quad F_{1,1}, F_{1,2}, F_{1,3}, \quad F_{2,1}, F_{2,2}, F_{2,3}, \quad \dots$$

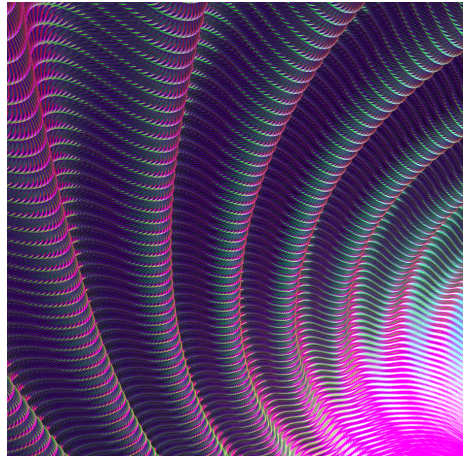
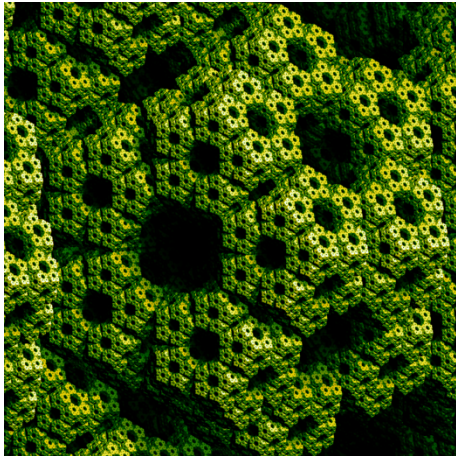
on a

$$\begin{pmatrix} v_\infty^\perp \\ v_\infty \\ n_\infty \end{pmatrix} = \prod_{k=1}^{\infty} \begin{pmatrix} 3 \\ \prod_{j=1}^3 C_{k,j} \end{pmatrix} \cdot \begin{pmatrix} v_0^\perp \\ v_0 \\ n_0 \end{pmatrix}$$

**Remarque.** – Contrairement au cas unidimensionnel, les expressions analytiques des matrices  $C_{k,j}$  sont peu maniables. En particulier, la comparaison avec un produit de Riesz n'est pas claire.

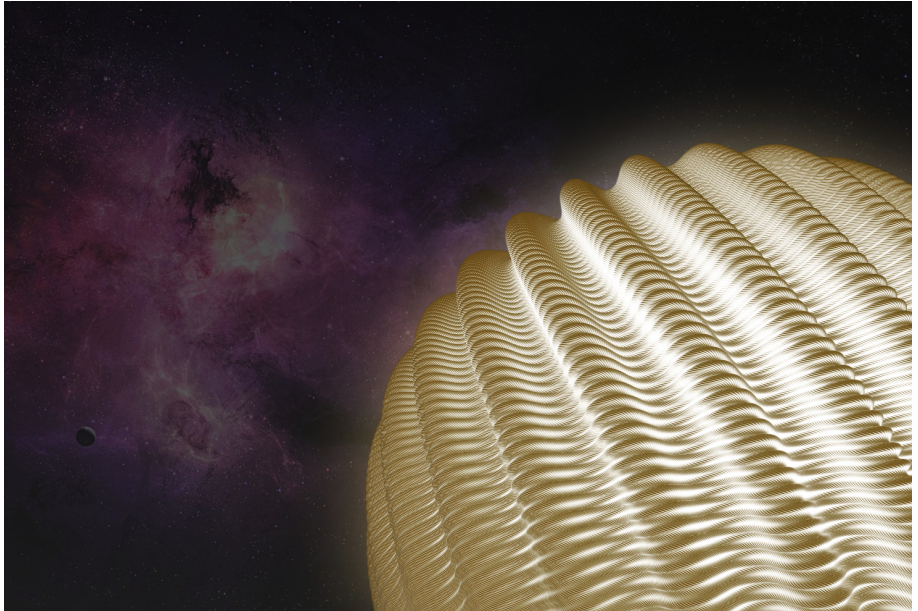
**Théorème (V. B., S. Jabrane, F. Lazarus, B. Thibert, 2012).**– « *Ce produit infini est asymptotiquement un produit de Riesz.* »

# Fractales usuelles vs Fractales lisses

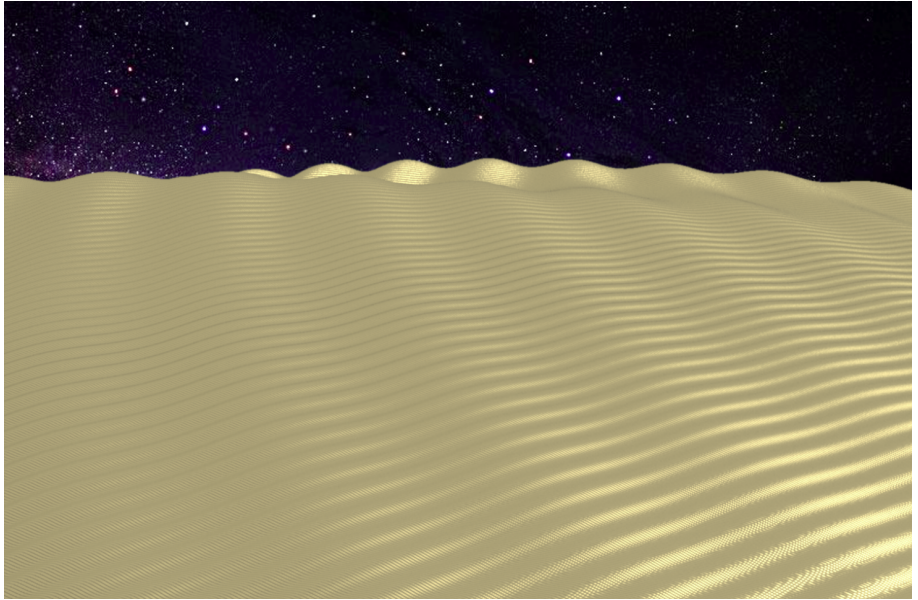


Images : Jos Leys et Projet Hévéea

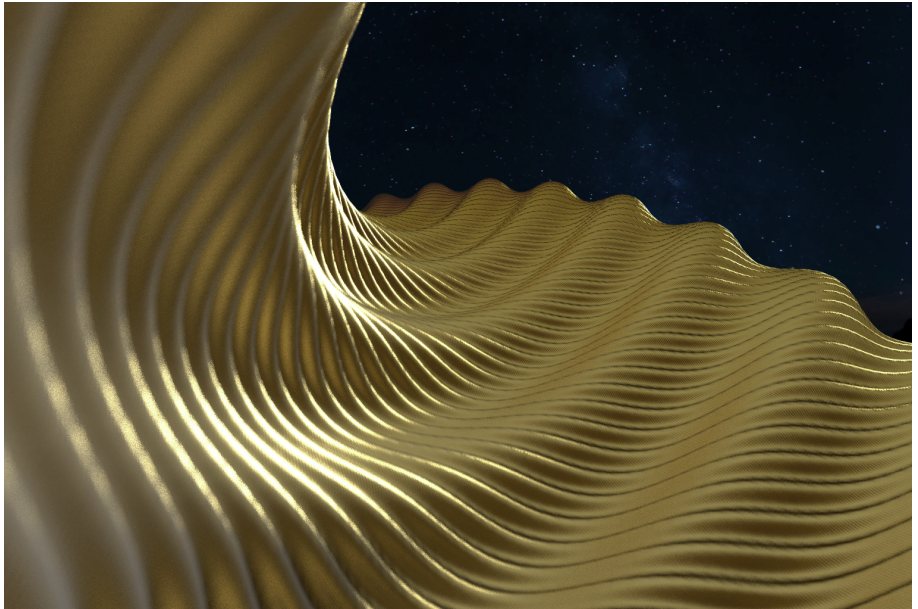
Plus d'images !



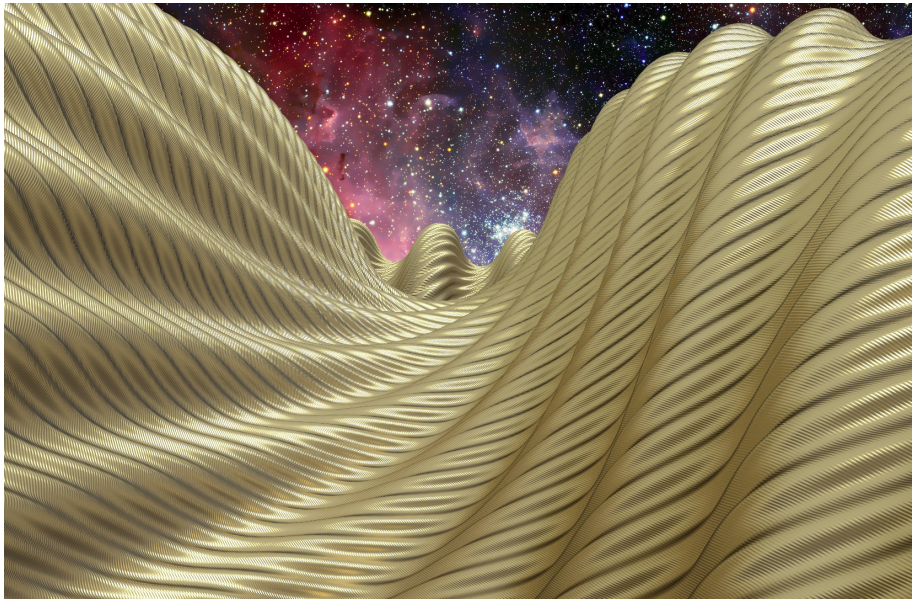
Plus d'images !



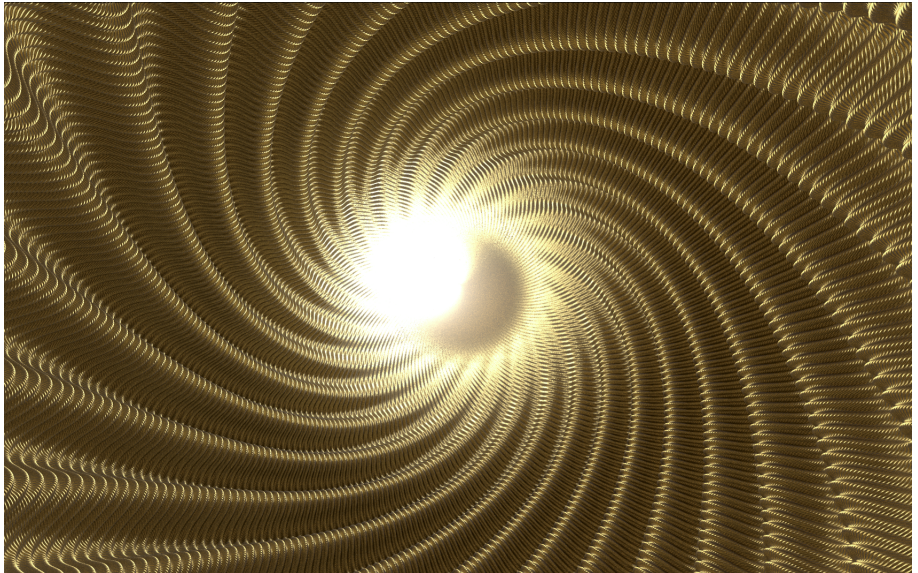
Plus d'images !



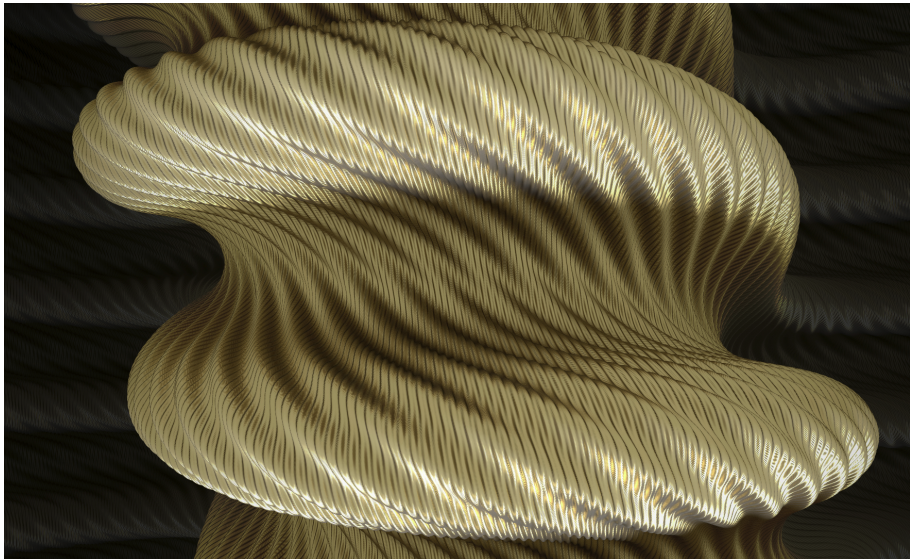
Plus d'images !



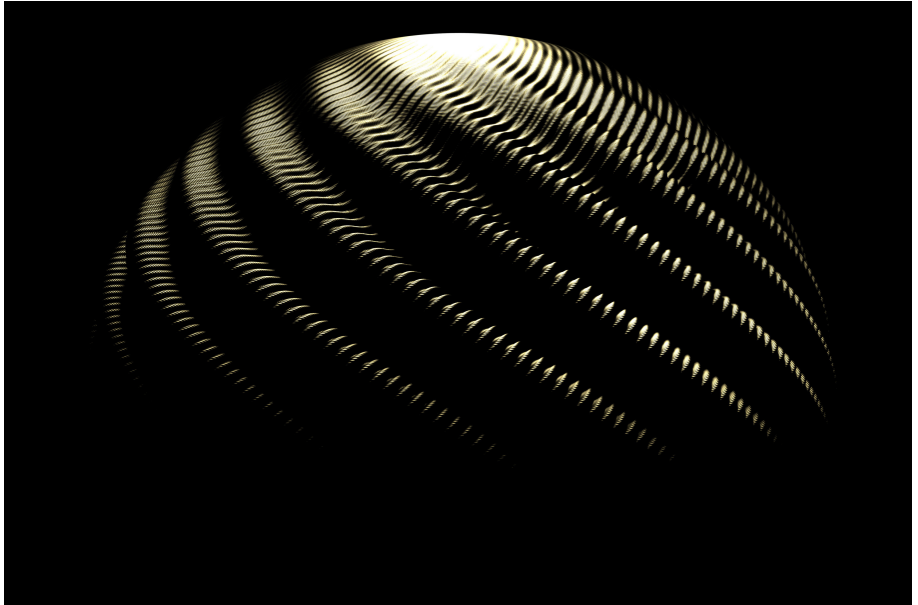
Plus d'images !



Plus d'images !



Plus d'images !

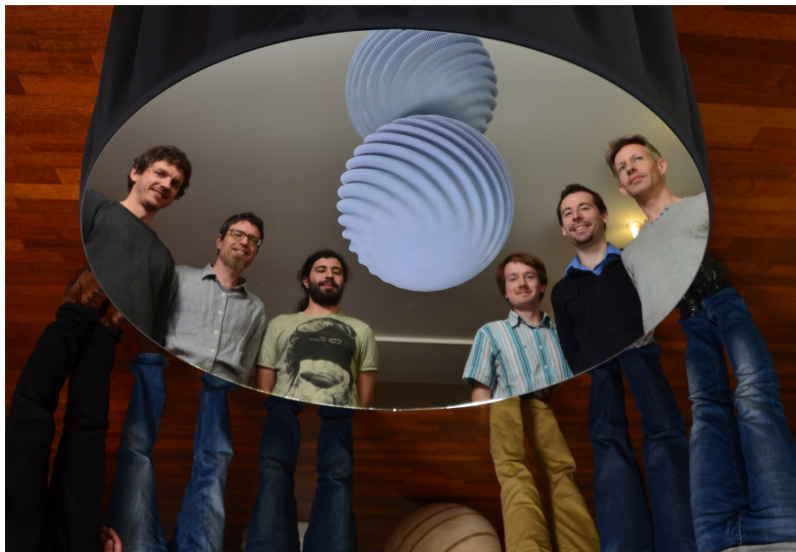


Encore plus d'images sur le site du projet Hévéa



<http://hevea-project.fr/>

Merci pour votre attention...



L'équipe Hévéa

... et votre accueil !



EMA 2018 Rabat